

СТРУКТУРА ПОЛЕЙ ПРИ НЕЛИНЕЙНОМ
НАСЫЩЕНИИ ВРМБ В ПЛАЗМЕ

В. П. Силин, В. Т. Тихончук

УДК 533.9

Рассмотрено ВРМБ интенсивного излучения в слое разреженной плазмы при учете акустической нелинейности. При помощи предложенной в работе /1/ аппроксимации гармонической пондеромоторной силы пилообразной функцией получена детальная качественная картина распределения электромагнитного и звукового полей в плазме.

В работах /2,3/ был выявлен эффект сильного подавления вынужденного рассеяния Мандельштама - Бриллюэна (ВРМБ) в разреженной плазме за счет нелинейности звукового поля. Структура полей в плазме подробно была изучена в условиях слабой звуковой нелинейности, когда можно ограничиться учетом первых двух гармоник звука. В условиях развитой звуковой нелинейности в работе /3/ были получены предельные формулы для полей как в непосредственной окрестности границы плазмы, так и достаточно далеко от границы. Ниже мы приведем результаты детального исследования структуры полей во всем слое плазмы, что оказалось возможным сделать с помощью предложенной в /1/ простой аппроксимации пондеромоторной силы.

В работе /1/ при построении нелинейной теории ВРМБ от полупространства было показано, что для выяснения качественных особенностей процесса генерации звука интенсивной волной начинать полезно аппроксимировать пондеромоторную силу в уравнении нелинейной акустики, изменяющуюся по синусоидальному закону, пилообразной функцией. При этом форма звукового возмущения оказывается независящей от амплитуды вынужденной силы, что существенно упрощает рассмотрение. В настоящей заметке мы ис-

пользуем предложенную авторами /1/ аппроксимацию для нахождения качественной структуры электромагнитного и звукового полей при ВРМБ в слое плазмы толщиной l .

Исходные уравнения для амплитуд падающей $e_0(x) = E_0(x)/\sqrt{8\pi n_c \alpha T}$ и рассеянной назад $e_1(x) = E_1(x)/\sqrt{8\pi n_c \alpha T}$ электромагнитных волн и возмущения плотности плазмы $\delta n/n_0 = \vartheta(x, a) \ll 1$ приведены в работах /1, 3/:

$$de_0/dx = - (1/2)\alpha k \vartheta_1 e_1, \quad de_1/dx = - (1/2)\alpha k \vartheta_1 e_0, \quad (1)$$

$$\begin{aligned} \partial \vartheta(x, a)/\partial x &= - \vartheta \partial \vartheta/\partial a + k |e_0|^2 \sin(2ka + \Phi), \\ \vartheta_1(x) &= i(k/\pi) \int_{a_1}^{a_1 + \pi/k} da \vartheta(x, a) \exp(-2ika). \end{aligned} \quad (2)$$

Здесь пренебрежено эффектами затухания и дисперсии звука, $x \in (0, l)$ описывает медленное изменение амплитуд, а переменная $a = x - v_s t$ — быстрое изменение звукового волнового поля в системе координат, движущейся со скоростью звука v_s , $k = (\omega_0/c) \times x (1 - n_0/n_c)^{1/2}$ — волновой вектор волны накачки в плазме, n_0 — плотность плазмы, n_c — критическая плотность, T — температура, $\alpha = (n_c/n_0 - 1)^{-1}$, Φ — относительная фаза падающей и рассеянной волн. Мы рассмотрим далее случай разреженной плазмы $\alpha \ll 1$, где влияние акустической нелинейности наиболее сильное. Границные условия к системе (1), (2) сводятся к равенству нулю амплитуд входящих в слой звуковой и рассеянной волн $\vartheta(0, a) = 0$, $e_1(0) = 0$ и к заданию амплитуды падающей волны на левой границе слоя $e_0(0) = I^{1/2}$, где $I = E_0^2(0)/8\pi n_c \alpha T \ll 1$ — безразмерная интенсивность волны накачки. Кроме того, нас будут интересовать только периодические с периодом вынуждающей силы π/k решения уравнения (2).

Система (1), (2), дополненная учетом вязкого затухания звука, была использована в /1/ при построении теории ВРМБ света от полупространства, когда коэффициент отражения R равен 100%. Мы здесь исследуем структуру акустического и электромагнитного полей при ВРМБ в слое, когда коэффициент отражения $R \ll 1$, что представляется весьма важным с точки зрения лазерного термо-

ядерного синтеза. Следуя /I/, заменим в уравнении (2) $\sin\theta$ ($\theta = 2ka + \frac{\omega}{c}$) пилообразной функцией $\psi(\theta) = 2\mu(\theta/\pi - 2n)$, ($2n + 1)\pi < \theta < (2n + 1)\pi$, где n — любой целое число, а $\mu \sim 1$ — численный параметр, который будет определен позднее. Такая аппроксимация адекватна именно в условиях развитой акустической нелинейности, когда форма звуковой волны, согласно /I,3/, близка к пилообразной почти во всем слое. Такая ситуация реализуется при достаточно интенсивной накачке $r \equiv \pi^{-1} k_1 V \alpha I \gg 1$, когда $R > \alpha / 2, 3/.$

Как показано в /I/, замена $\sin\theta = \psi(\theta)$ открывает возможность разделения переменных $\dot{y}(x, a) = \sqrt{2I}g(y)\psi(\theta)$, где $y = kxV\sqrt{I/2}$, в уравнении (2), в результате чего система (I), (2) сводится к паре обыкновенных дифференциальных уравнений для функций $g(y)$ и $r(y) = |e_0 e_1^*|/I$:

$$\frac{dg}{dy} = - (8\mu/\pi)g^2 + r, \quad \frac{dr}{dy} = - (2\mu/3)ag [(1 - R^2)^2 + 4x^2]^{1/2} \quad (3)$$

с граничными условиями

$$g(0) = 0, \quad r(0) = R, \quad r(y_{\max}) = 0, \quad y_{\max} = k_1 V \sqrt{I/2} = \pi p / \sqrt{2\alpha}, \quad (4)$$

где $R = |e_1(0)/e_0(0)|$ — коэффициент отражения, который находится из решения системы (3), (4).

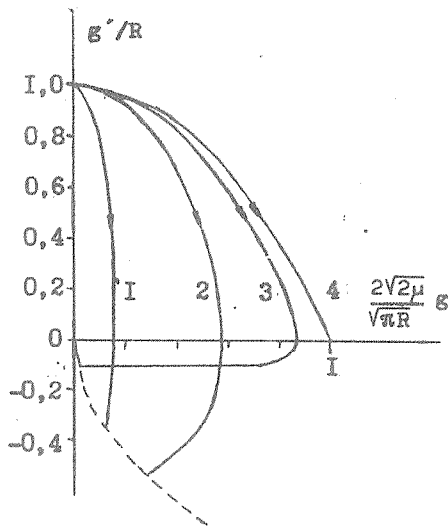
В интересующихся нас условиях $R \ll 1$ первый интеграл системы (3) с учетом первых двух условий (4) имеет вид

$$8 \frac{\mu}{\pi} g^2 = R - g' - \frac{\pi\alpha}{24} \ln \frac{R + \pi\alpha/24}{g^2 + \pi\alpha/24}. \quad (5)$$

На фазовой плоскости (g', g) это уравнение определяет семейство интегральных кривых, зависящих от параметра $\lambda = \pi\alpha/24R$ (см. рис. I). Все кривые исходят из точки $g = 0, g' = R$, соответствующей $y = 0$, и заканчиваются при $y = y_{\max}$ на линии

$$g'' + (8\mu/\pi)g^2 = 0, \quad (6)$$

соответствующей $x = 0$.



Р и с. I. Интегральные кривые уравнения (5) для значений параметра $\lambda = \pi\alpha/24R$ 25 (1); 1 (2); 0,1 (3), 0 (4). Пунктиром проведена граничная кривая (6), соответствующая $x = 0$

Уравнение (5) дает интегральную связь координаты y со значением производной $g''(y)$: $y = \int_{R}^{g''} dg'' g''^{-1} dg/dg''$. Отсюда получаем следующую связь коэффициента отражения с амплитудой волны на-качки

$$p = \frac{1}{\pi} \sqrt{\frac{3\lambda}{2\mu}} \int_0^1 dz \left[1 - z + \lambda - (1 + \lambda) \exp \left(-\frac{z}{\lambda} \right) \right]^{-1/2}. \quad (7)$$

Здесь $\lambda = \pi\alpha/24R$, $p = \pi^{-1} k l \sqrt{\alpha I}$. В области $\lambda \ll 1$, соответствующей сильнолинейному режиму, $p \gg 1$ и следующая из (7) зависимость $R = (\pi^3/144)\mu a p^2$ совпадает с полученной в [3] из уравнений (1), (2) зависимостью $R = (2/9)\alpha p^2$ при $\mu = 32/\pi^3 \approx 1,03$.

Амплитуда уходящей звуковой волны $g(y_{\max})$ определяется точкой пересечения кривых (5) и (6)

$$g(y_{\max}) = \frac{\pi}{4} \sqrt{\frac{a}{6}} \left[1 - \left(1 + \frac{24R}{\pi a} \right) \exp \left(- \frac{24R}{\pi a} \right) \right]^{1/2} \quad (8)$$

и монотонно возрастает с увеличением R . При $R \ll a$ из (8) следует $g(y_{\max}) \approx R\sqrt{3}/2\mu a$. При $R \gg a$ ($p \gg 1$) $g(y_{\max}) \approx (\pi/4)\sqrt{a/6}$ оказывается значительно меньше максимального значения и зависит только от плотности плазмы.

Поскольку $g''(y_{\max}) < 0$, все интегральные кривые заканчиваются в нижней полуплоскости и следовательно, максимальное значение амплитуды звука

$$g_{\max} = \frac{1}{2} \sqrt{\frac{\pi R}{2\mu}} \left[1 - \frac{\pi a}{24R} \ln \left(1 + \frac{24R}{\pi a} \right) \right]^{1/2} \quad (9)$$

достигается всегда в точке, лежащей внутри слоя. С точностью до численных коэффициентов, значения (9) в предельных случаях $R \ll a$ ($g_{\max} \approx g(y_{\max})$) и $R \gg a$ ($g_{\max} \approx \sqrt{\pi R/8\mu}$) отвечают результатам работ /2,3/.

Для положения точки x_1 , в которой достигается максимальная амплитуда звука, из (5), (6) имеем

$$\frac{x_1}{I} = \frac{\sqrt{3}\pi\lambda}{8p} \int_0^{z_1} dz \left[1 - z + \lambda - (1 + \lambda) \exp(-\frac{z}{\lambda}) \right]^{-1/2},$$

$$z_1 = \lambda \ln \frac{1 + \lambda}{\lambda}.$$

Отсюда следует, что точка x_1 с ростом p смещается от правой границы к левой. При $p \gg 1$ ($\lambda \ll 1$) точка x_1 оказывается прижатой к левой границе слоя: $x_1/I \approx (\lambda/2) \ln(4/\lambda) = (3\pi/32p^2) \ln(64p^2/3\pi) \ll 1$. В области $0 < x < x_1$ амплитуда звука нарастает по закону $g(y) \approx (\pi/4)^2 \sqrt{R} t h [\sqrt{R} y (\pi/4)^2]$, который отличается от I/I налипением $R \ll 1$, а в области $x_1 < x < 1$ линейно спадает до значения (8).

$$g(y) \approx (\pi/4)\sqrt{\alpha/6} + (\pi^2 p \sqrt{\alpha}/24\sqrt{2})(1 - x/l).$$

Амплитуда рассеянной волны r , согласно (3), (5), связана с g соотношением

$$r = R - \frac{\pi\alpha}{24} \ln \frac{R + \pi\alpha/24}{g - \pi\alpha/24}$$

и монотонно возрастает от правого края ($r(y_{max}) = 0$) к левому ($r(0) = R$).

Быстрое нарастание звукового поля вблизи левой границы слоя накладывает ограничение на возможность использования укороченных уравнений (x_1 должно быть больше длины звуковой волны). Это условие приводит к следующему неравенству: $p^2 < (3/32)kl$. Отметим однако, что в реальных условиях обычно $\alpha kl > 1$ и поэтому насыщение коэффициента отражения на уровне $R = 1$ достигается еще в условиях применимости системы (1), (2).

Поступила в редакцию
5 февраля 1982 г.

Л и т е р а т у р а

1. А. А. Карабутов, Е. А. Лапшин, О. В. Руденко, ЖЭТФ, 71, III (1976).
2. В. П. Силин, В. Т. Тихончук, Письма в ЖЭТФ, 34, 385 (1981).
3. В. П. Силин, В. Т. Тихончук, Препринт ФИАН № 57, М., 1982 г.